

# ПРОЯВЛЕНИЕ ФАЗЫ СПИНОВОГО СТЕКЛА В АНИЗОТРОПИИ МАГНИТОСОПРОТИВЛЕНИЯ $p\text{-Hg}_{1-x}\text{Mn}_x\text{Te}$

*А.Е.Беляев, Ф.В.Кириченко, Ю.Г.Семенов, Н.В.Шевченко*

*Институт полупроводников Украинской АН*

*252650, Киев, Украина*

Поступила в редакцию 6 октября 1992 г.

Уменьшение анизотропии магнитосопротивления полумагнитного полупроводника  $p\text{-Hg}_{1-x}\text{Mn}_x\text{Te}$ , наблюдаемое при понижении температуры или с повышением концентрации Mn, обусловлено усилением "замороженных" в фазе спинового стекла локальных обменных полей, ассоциированных с акцепторами.

Магнитосопротивление кубических полумагнитных полупроводников (ПМП)  $p$ -типа характеризуется в области прыжковой и примесной проводимости рядом особенностей, связанных с перестройкой энергетического спектра как потолка валентной зоны  $\Gamma$ , так и уровней акцепторов в эффективном молекулярном поле  $G_h = N_0\beta x < S >$ . Последнее обусловлено обменным взаимодействием ( $\beta$  – соответствующая константа) зонных носителей тока (либо носителей, локализованных на акцепторах) с поляризованными в магнитном поле H спинами S магнитных ионов Mn<sup>1+</sup>, концентрация которых  $N_0x$ . В частности, детально исследованный в ряде работ эффект гигантского отрицательного магнитосопротивления обусловлен так называемым явлением "вскипания"<sup>2</sup>, то есть уменьшения энергии связи  $E_A$  акцепторных уровней в поле  $G_h$ . В слабых полях  $G_h \ll E_A$  эффект объясняется различием эффективных g-факторов свободных  $g_h^*$  и связанных  $g_A^*$  на акцепторах дырок ( $g^*$  учитывает вклад обменного поля в спиновые расщепления). В полях  $G_h \gg E_A$  энергия связи  $E_A$  достигает минимальной величины, определяемой массой легких, а не тяжелых, как в случае  $G_h = 0$ , дырок<sup>3</sup>. Вместе с ростом  $G_h$  волновые функции акцепторов приобретают аксиальную анизотропию: состояния с проекцией углового момента  $p_A = +3/2$ , отвечающей низшему спиновому подуровню энергии, вытянуты в поперечном к полю  $G_h$  направлении. Проявление данного эффекта наблюдалось в области прыжковой проводимости<sup>4</sup> при исследовании анизотропии магнитосопротивления  $\eta^\vartheta = \rho_{||}/\rho_{\perp} > 1$  в  $p\text{-Hg}_{1-x}\text{Mn}_x\text{Te}$  ( $x \leq 0,1$ ), монотонно возрастающего с увеличением намагниченности образцов  $M \propto G_h$ . Изменение M в<sup>4</sup> достигалось за счет изменения магнитного поля H, температуры T и состава ПМП x. Вместе с тем, измерения  $\eta^\vartheta$ , проведенные нами для  $x \geq 0,12$ , привели к качественно иному результату.

На рис.1 показаны зависимости параметра анизотропии магнитосопротивления от магнитного поля для двух образцов  $p$ -типа с  $x = 0,09$  и  $x = 0,165$ . Для образца с  $x = 0,09$  (рис.1a) усилению  $\eta^\vartheta$  отвечает увеличение его намагниченности, связочное с понижением температуры, в соответствии с<sup>4</sup>. Для образца же с  $x = 0,165$  (рис.1б) анизотропия магнитосопротивления при понижении температуры заметно уменьшается, вопреки тому, что температурная зависимость намагниченности, ожидаемая для  $x > 0,15$  из измерений<sup>5</sup>, в интервале  $T = 2 - 4,2$  К практически отсутствует. При этом в интервале полей от 0 до 1,5 Тл при  $T = 1,6$  К анизотропия магнитосопротивления вовсе не наблюдается в то время, как при 4,2 К значение  $\eta^\vartheta$  достигает заметной величины уже при

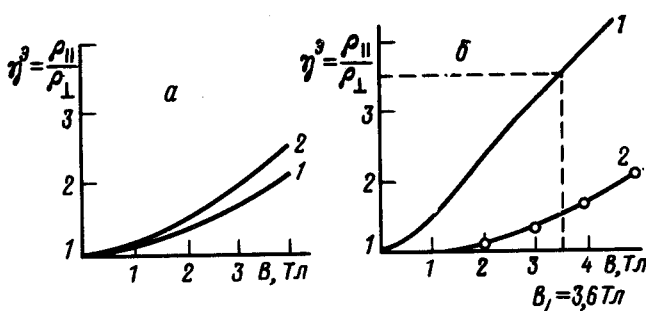


Рис.1. Зависимости параметра анизотропии магнитосопротивления ( $\eta^3 = \rho_{\parallel} / \rho_{\perp}$ ) для двух образцов  $p\text{-Hg}_{1-x}\text{Mn}_x\text{Te}$ : *a* –  $p\text{-Hg}_{0,91}\text{Mn}_{0,09}\text{Te}$ ; *b* –  $p\text{-Hg}_{0,835}\text{Mn}_{0,165}\text{Te}$ . Кривые 1 и 2 соответствуют температурам 4,2 и 1,7 К. *x* – расчетные значения

$H > 0,3$  Тл. Отметим также, что аналогичные измерения были проведены для образца с  $x = 0,19$ , в котором вообще не удалось обнаружить анизотропию магнитосопротивления в полях до 4,5 Тл при 1,6 К.

Таким образом, проведенные измерения показали, что величина  $\eta$  является не только функцией намагниченности, но также зависит от температуры и концентрации ионов Mn.

Отмеченные различия поведения  $\eta^3 = \eta(H)$  при различных температурах могут быть связаны с переходом ПМП в фазу спинового стекла, в которой, согласно <sup>6</sup>, должны оказаться при  $T < 2$  К образцы с  $x \geq 0,12$ . Поскольку в фазе спинового стекла происходит замораживание магнитных моментов ионов, то же происходит и с локальными обменными полями  $G_i$ , определяющими как величину спинового расщепления, так и направления осей анизотропии для каждого акцепторного центра. Таким образом, несмотря на конечное значение хаотически направленных  $G_i$ , при  $H = 0$  кристалл в целом остается изотропным, как и в парамагнитной фазе. В магнитном поле локальные поля  $G_i$  и соответствующие им локальные магнитные моменты  $M_i \propto G_i$  изменяют свою ориентацию по направлению к  $H$ . Этот процесс, однако, в фазе спинового стекла происходит не так быстро, как в парамагнитной фазе, что связано с конкуренцией внешнего и внутренних полей, где последние стремятся разупорядочить  $G_i$ .

В соответствии со сказанным мы принимаем следующую модель:

1. Волновую функцию акцептора аппроксимируем анизотропной одноэкспоненциальной функцией с радиусами состояния  $a$  вдоль поля  $G_i$  в  $b$  поперек  $G_i$ :  $\Psi(r) \propto \exp(-\sqrt{(x'^2 + y'^2)/b^2 + z'^2/a^2})$ ; где ось  $z'$  локальной системы координат выбрана вдоль  $G_i$ . Полагая  $b > a$ , следует отметить, что как величины, так и отношение  $b$  и  $a$  зависят от  $|G_i|$ , при этом для упрощения расчетов будем предполагать, что в спин-стекольной фазе отношение  $b/a$  не изменяется под воздействием внешних магнитных полей, используемых в нашем эксперименте:  $b/a = \text{const}$ .
2. Будем пренебречь флюктуациями величин локальных полей  $\tilde{\Delta}_{sg}$ , но учтем их случайную ориентацию.
3. Роль внешнего магнитного поля будем учитывать как аддитивную поправку  $G_0 = G_h + g\mu_B H$ , одинаковую для всех локальных полей  $\tilde{\Delta}_{sg}$ , в результате на каждый акцепторный центр действует локальное эффективное поле  $G_i = \tilde{\Delta}_{sg} + G_0$ .
4. Поскольку в ансамбле одинаково ориентированных анизотропных примес-

ных центров рассчитанная в  $T$  величина продольного магнитосопротивления  $\rho_{\parallel} \propto 1/a^2$ , а поперечного  $\rho_{\perp} \propto 1/b^2$ , искомую зависимость  $\eta = \rho_{\parallel}/\rho_{\perp}$  будем искать в виде  $\eta^T = \langle r_{\perp}^2 \rangle / \langle r_{\parallel}^2 \rangle$ , где  $\langle \dots \rangle$  означает усреднение по направлениям локальных полей  $G_l$ , а  $r_{\parallel}, r_{\perp}$  – протяженности волновой функции акцептора вдоль и поперек направления внешнего поля  $H \parallel G_0$  (рис.2).

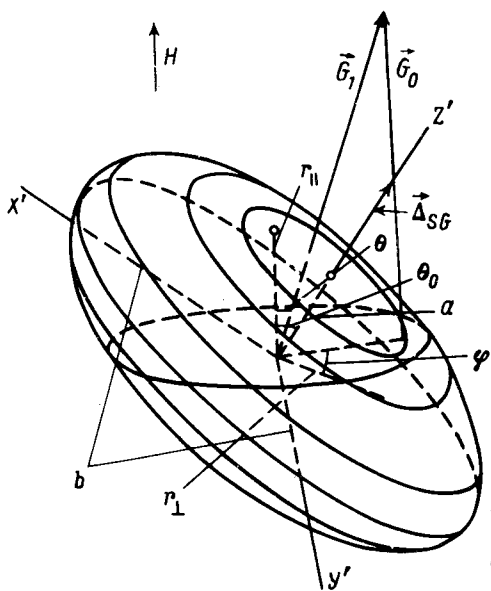


Рис.2. Схематическое изображение поверхности, определяемой уравнением  $\Psi(\mathbf{r}) = \text{const}$ , системы координат и углов, используемых в формулах (1) и (2)

С учетом сделанных предположений получаем следующие соотношения для  $r_{\parallel}$  и  $r_{\perp}$ :

$$r_{\parallel}^2 = \frac{a^2 b^2}{b^2 \cos^2 \theta + a^2 \sin^2 \theta}; \quad r_{\perp}^2 = \frac{a^2 b^2}{b^2 \sin^2 \theta \cos^2 \varphi + a^2 (\cos^2 \theta \cos^2 \varphi + \sin^2 \varphi)}. \quad (1)$$

Здесь  $\theta$  и  $\varphi$  – полярный и азимутальный углы  $G_l$ , связанные соответствующими углами  $\theta_0$  и  $\varphi_0$  для  $\Delta_{sg}$  соотношениями:

$$\varphi = \varphi_0; \quad \theta = \theta_0 - \delta\theta; \quad \sin^2 \delta\theta = \frac{G_0^2 \sin^2 \theta_0}{\Delta_{sg}^2 + G_0^2 + 2\Delta_{sg} G_0 \cos \theta_0}. \quad (2)$$

Подставив (2) в (1) и усреднив по  $\theta_0$  и  $\varphi_0$ , мы нашли  $\eta^T = \langle r_{\perp}^2 \rangle / \langle r_{\parallel}^2 \rangle$  при различных значениях  $b^2/a^2$  и  $G_0/\Delta_{sg}$  (рис.3). Видно качественное подобие рассчитанных кривых и измеренных для  $x = 0, 165$  (рис.1б). Количественное согласие достигается, если  $G_0 = G_0(H)$  аппроксимировать линейной зависимостью (согласно проведенным измерениям  $M = M(H)$ )<sup>5</sup> такое приближение выполняется для  $H < 4$  Тл), а в качестве  $\Delta_{sg}$  выбрать  $G_0(H_0)$ , где  $H_0 = 3, 6$  Тл и  $b^2/a^2 = 3, 5$ .

Независимой проверкой выбранной модели служат измерения параметра анизотропии  $\eta_p^3 = \eta_p^3(H)$ , проведенные для того же образца, но при  $T = 4, 2$  К, отвечающей парамагнитной фазе (рис.1б). При этом, поскольку в парамагнитной фазе в не слишком слабых полях  $G_l(H) = G_0(H)$ , что соответствует

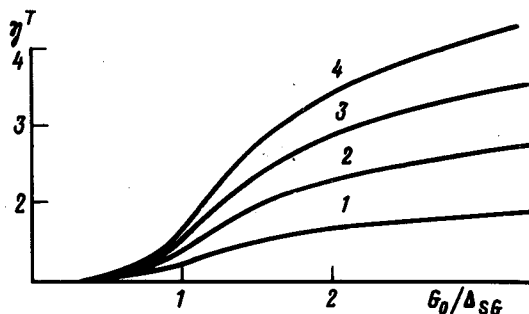


Рис.3. Рассчитанные зависимости параметра анизотропии  $\eta^T = \langle r_\perp^2 \rangle / \langle r_{||}^2 \rangle$  от эффективного обменного поля. Кривым 1, 2, 3, 4 отвечают отношения полуосей эллипсоида (рис.2)  $b^2/a^2 = 2, 3, 4, 5$ , соответственно

$\tilde{\Delta}_{sg} = 0$ , то найденное значение  $b^2/a^2 = 3,5$  должно быть сопоставлено с наблюдавшейся анизотропией  $\eta_p^3$  в парамагнитной фазе при 4,2 К в поле  $H_1$ , приводящему к  $G_0 = G_0(H_0)_{T=1,7\text{K}}$ . Для определения поля  $H_1$  из уравнения  $G_0(H_1)_{4,2\text{K}} = G_0(H_0)_{1,7\text{K}}$  достаточно знать зависимости намагниченности  $M = M(H)$  для двух указанных температур. В<sup>5</sup> были проведены такие измерения, но для набора образцов с  $x = 0,1$ ;  $x = 0,12$  и  $x = 0,14$ . В результате экстраполяции этих зависимостей к значению концентрации  $x = 0,165$  было установлено, что намагниченность ПМП с погрешностью, не превышающей 5%, совпадает для двух указанных температур в области полей от 1 до 5 Тл. Последнее означает, что с указанной точностью  $H_1 = H_0 = 3,6$  Тл. Из приведенных на рис.1 результатов измерений для 4,2 К видно, что полю 3,6 Тл действительно отвечает параметр анизотропии  $\eta_p^3 = 3,5$ .

Таким образом, проведенные исследования анизотропии магнитосопротивления показали, что на акцепторные состояния в ПМП с достаточно высокой концентрацией магнитной компоненты и при низких температурах действуют хаотически направленные сильные обменные поля. Их средняя величина, вычисленная для состава  $x = 0,165$  с использованием значений  $N_0\beta = 0,72$  эВ,  $\langle S_z \rangle = 0,236$  ( $T \leq 4$  К,  $H = 3,6$  Тл) составляет  $\Delta_{sg} \approx 28$  мэВ. С повышением концентрации Mn ожидаемая величина  $\Delta_{sg}$  еще более возрастает, в то время как магнитная восприимчивость ПМП заметно падает, чем и объясняется практическое отсутствие анизотропии магнитосопротивления для образца с  $x = 0,19$  в полях до 4,5 Тл.

- 
1. T.R.Gawron, J. Phys. C **19**, 21 (1986).
  2. T.Wojtowicz and A.Mycielski, Phys. **117-118**, 476 (1983).
  3. А.Д.Быховский и др., ФТП **18**, 2094 (1984).
  4. T.Wojtowicz et al., J. Cryst. Growth **72**, 385 (1985).
  5. W.Dobrowolski et al., Lecture Notes in Phys. **152**, 302 (1982).
  6. И.И.Ляпилин, И.М.Цидильковский, УФН **146**, 35 (1985).
  7. Б.И.Шкловский, А.Л.Эфрос. Электронные свойства легированных полупроводников. М.: Наука, 1979, с.416.